

RÉCURRENCE OU NON MINIMALITÉ DES ADHÉRENCES DES D'ORBITES IRRÉGULIÈRES DU FLOT HOROCYCLIQUE DE FINESSE INFINIE

MASSEYE GAYE ET AMADOU SY

ABSTRACT. La dynamique topologique du flot horocyclique $h_{\mathbb{R}}$ sur le fibré tangent unitaire d'une surface hyperbolique géométriquement finie est bien connue. En particulier sur une telle surface le flot $h_{\mathbb{R}}$ est minimal ou les ensembles minimaux sont les orbites périodiques. Lorsque la surface est géométriquement infinie, la situation est plus complexe et la présence d'éventuelles d'orbites non fermées et non denses, appelées orbites irrégulières, rend la description des ensembles minimaux compliquée. Dans ce texte, nous allons montrer une telle orbite est récurrente ou son adhérence est non $h_{\mathbb{R}}$ minimal. Ce qui permettrait de presque finir la description des ensembles $h_{\mathbb{R}}$ -minimaux.

ABSTRACT. The topological dynamics of the horocyclic flow $h_{\mathbb{R}}$ on the unit tangent bundle of a geometrically finite hyperbolic surface is well known. In particular, on such a surface, the flow $h_{\mathbb{R}}$ is minimal, or the minimal sets are the periodic orbits. When the surface is geometrically infinite, the situation is more complex, and the presence of possible non-closed and non-dense orbits, called irregular orbits, complicates the description of minimal sets. In this text, we will show that such an orbit is recurrent, or its closure is non- $h_{\mathbb{R}}$ minimal. This would allow us to almost complete the description of $h_{\mathbb{R}}$ -minimal sets.

Mots clés : horocycli orbits, minimal set, asymptotic finness, recurrence.
AMS 2010 Mathematics Subject Classification. Primary 37D40; Secondary 20H10, 14H55, 30F35.

1. INTRODUCTION

Dans l'étude des systèmes dynamiques, une question importante est de comprendre les ensembles minimaux, c'est-à-dire les fermés non vide, invariants et qui ne contient aucun fermé propre, non vide et invariant. Pour le flot horocyclique $h_{\mathbb{R}}$ sur une surface hyperbolique géométriquement infinie restreint à son ensemble non errant Ω_h , cette question est encore ouverte. Mais il est bien connu que comprendre les ensembles $h_{\mathbb{R}}$ minimaux revient à comprendre les adhérances des orbites irrégulières (non fermée et non dense dans l'ensemble non errant Ω_h), voir par exemple [2], [3], [7], [10] et [12]. Pour $u \in \Omega_h$, un argument classique pour avoir la non minimalité de $h_{\mathbb{R}}(u)$ est de montrer que l'ensemble $T_u = \{t \in \mathbb{R}^*; g_t(u) \in h_{\mathbb{R}}(u)\} \neq \emptyset$; c'est-à-dire l'orbite géodésique $g_{\mathbb{R}}(u)$ rencontre l'adhérence de l'orbite horocyclique $h_{\mathbb{R}}(u)$ en un temps non nul. L'étude de cette intersection est liée à la compréhension de la limite inférieure du rayon d'injectivité le long de la demi géodésique $u(\mathbb{R}_+)$, appelée finesse asymptotique de $u(\mathbb{R}_+)$ et notée $Inj(u(\mathbb{R}_+))$. Dans [2],[3]), A. Bellis montre que :

Pour une surface hyperbolique Σ géométriquement infinie, si u est un élément de Ω_h telle que $h_{\mathbb{R}}(u)$ non fermée et que $0 \leq \text{Inj}(u(\mathbb{R}_+)) < +\infty$. Alors $\overline{h_{\mathbb{R}}(u)}$ n'est pas $h_{\mathbb{R}}$ -minimale.

Au vu du résultat ci-dessus on se pose la question que passe t-il si la finesse est infinie?

Autrement dit la situation $\text{Inj}(u(\mathbb{R}_+)) = +\infty$ donne t-elle lieu à de nouveaux types d'ensembles $h_{\mathbb{R}}$ -minimaux ? Récemment dans [5], les auteurs ont construit pour la première fois :

un exemple de surfaces hyperboliques géométriquement infinies Σ pour lesquelles il existe $u_0 \in \Omega_h$ tel que :

$h_{\mathbb{R}}(u_0)$ est non fermée, non dense, de finesse asymptotique $\text{Inj}(u_0(\mathbb{R}_+)) = +\infty$ et $\overline{h_{\mathbb{R}}(u)}$ est minimale.

Dans ce papier, nous montrons le résultat suivant qui est une dichotomie entre la récurrence des orbites irrégulières de finesse infinie et la non minimalité de leur adhérence.

Théorème 1.1. Soit $\Sigma = \Gamma \backslash \mathbb{H}$ une surface hyperbolique géométriquement infinie où Γ est un groupe fuchsien sans élément elliptique. Soit $u_0 \in \Omega_h$ tel que $h_{\mathbb{R}}(u_0)$ est irrégulière (non fermé et non dense) et de finesse asymptotique $\text{Inj}(u_0(\mathbb{R}_+)) = +\infty$. Alors :

- soit $h_{\mathbb{R}}(u_0)$ est récurrente ;
- soit l'adhérence $\overline{h_{\mathbb{R}}(u_0)}$ n'est pas $h_{\mathbb{R}}$ -minimale.

Puisqu'un ensemble $h_{\mathbb{R}}$ -minimal est l'adhérence d'une orbite, les résultats du théorème 1.1 combinés avec ceux de Bellis dans [3]), nous dit les éventuels ensemble minimaux pour le flot horocyclique sur une surface hyperbolique géométriquement infinie restreint à son ensemble non-errant sont ses orbites fermées ou l'adhérence de ses orbites irrégulières non récurrentes de finesse infinie.

Question : l'adhérence d'une orbite irrégulière récurrente de finesse infinie est -elle toujours minimale?

La suite du papier est organisée comme suit : la première section est réservée aux préliminaires dont nous aurons besoin dans la deuxième section consacrés à la démonstration du théorème 1.1.

2. PRÉLIMINAIRES

Dans cette section, nous rappelons seulement les notions et les résultats dont nous aurons besoin pour la démonstration du théorème 1.1.

2.1. Nature des points de l'ensemble limite. Soit $\Sigma = \Gamma \backslash \mathbb{H}$ un surface hyperbolique où Γ est un groupe fuchsien sans élément elliptique. Notons $\Lambda = \overline{\Gamma.i \backslash \Gamma.i}$ l'ensemble limite du groupe Γ . Dans Λ nous distinguons quatre types de points selon l'orbite $\Gamma.i$ intersetcte les horodisques ouverts basé en ce point limite (voir [6]).

- un point ξ de Λ est dit *horocyclique* si pour tout horodisque ouvert \mathcal{O}_{ξ} basé en ξ , l'ensemble $\Gamma.i \cap \mathcal{O}_{\xi}$ est infini. On note Λ_h l'ensemble de ces points.
- un point ξ de Λ est dit *discret* si pour tout horodisque ouvert \mathcal{O}_{ξ} basé, l'ensemble $\Gamma.i \cap \mathcal{O}_{\xi}$ est fini. On note Λ_d l'ensemble de ces points.
- un point ξ de Λ est dit *parabolique* s'il est fixé par une isométrie parabolique de Γ . On note Λ_p l'ensemble de ces points.

- un point ξ de Λ est dit *irrégulier* s'il n'est ni horocyclique, ni discret et ni parabolique. On note Λ_{irr} l'ensemble de ces points.

Les ensembles Λ_h , Λ_d , Λ_p et Λ_{irr} forment une partition Γ invariante de Λ .

Remarque 2.1. Soit ∞ est un point de l'ensemble limite de Λ .

- $\infty \notin \Delta_h$ si et seulement s'il existe $M > 0$ tel pour tout $\gamma \in \Gamma$, $Im(\gamma(i)) \leq M$.
- $\infty \notin \Delta_d$ s'il existe une suite non constante $(Im(\gamma_n(i)))_{n \geq 1}$ qui tend vers $l > 0$.

Le théorème suivant bien connu (voir par exemple [4]) donne une caractérisation de la finitude de la surface en fonction des points limites

Théorème 2.1. La surface $\Sigma = \Gamma \setminus \mathbb{H}$ est géométriquement finie si et seulement si $\Lambda = \lambda_h \cup \Lambda_p$.

2.2. Birapport et intersection de géodésiques. La référence que nous utilisons pour cette sous section est [11].

Définition 2.2. Soient a, b, c et d quatre points distincts du bord de \mathbb{H} . Le birapport de ces points est défini par :

$$[a; b; c; d] = \frac{(a - c)(b - d)}{(a - d)(b - c)} \text{ avec la convention } [a; b; c; \infty] = \frac{a - c}{b - c}.$$

Lemme 2.3. Voir[11]; prop 2.1.16 Soient (a, b) et (c, d) deux géodésiques s'intersectant en un point x . Si les points du bord sont ordonnés comme suit $(a; c; b; d)$, alors l'angle $\beta \in [0, \pi]$ entre les géodésiques (a, b) et (c, d) vérifie :

$$[a; c; d; b] = \frac{\cos(\beta) + 1}{2}.$$

2.3. Nature topologique des orbites du flot horocyclique. Sur une surface hyperbolique géométriquement finie, la dynamique topologique du flot horocyclique $h_{\mathbb{R}}$ est bien connue : les orbites sont denses ou périodique. En particulier le flot $h_{\mathbb{R}}$ est minimal ou les ensembles $h_{\mathbb{R}}$ -minimaux sont ses orbites périodiques.

Lorsque la surface hyperbolique est géométriquement infinie, la dynamique topologique est plus compliquée et dépend de l'action de Γ sur le bord à l'infini $\partial\mathbb{H}$. L'ensemble des orbites de $h_{\mathbb{R}}$ se divise en quatre sous ensemble de nature topologique différente :

- l'ensemble des orbites denses dans Ω_h ;
- l'ensemble des orbites périodique (compactes);
- l'ensemble des orbites fermés non compactes;
- l'ensemble des orbites irrégulières (ni fermée, ni dense dans Ω_h);

et il existe toujours une orbite qui n'est ni dense et ni périodique, voir [13], [6]. Il est donc naturel de se demander que devient la rigidité du flot $h_{\mathbb{R}}$ observée dans le cadre géométriquement finie. Nous remarquons alors :

- le flot $h_{\mathbb{R}}$ n'est pas minimal, c'est-à-dire Ω_h n'est pas un ensemble minimal;
- les orbites fermées de $h_{\mathbb{R}}$ sont des ensembles minimaux pour $h_{\mathbb{R}}$;
- les éventuels ensembles $h_{\mathbb{R}}$ -minimaux différent orbites fermées, sont les adhérances de ses orbites irrégulières.

Jusqu'à présent toutes les investigations menées sur une large classe de surfaces hyperboliques géométriquement infinies, montrent que les adhérances des orbites irrégulières ne sont pas des ensembles $h_{\mathbb{R}}$ -minimaux (voir par exemple [7], [10], [12]).

2.4. Correspondance entre point limite et nature topologique des orbites.

Pour $u \in T^1\Sigma$, nous notons \tilde{u} un relevé de u et u^+ l'extrémité positive de la géodésique de \mathbb{H} définie par \tilde{u} . Il est bien connu que u appartient à Ω_h si et seulement si l'extrémité u^+ appartient à l'ensemble Λ . Il existe donc une correspondance entre la nature topologique de l'orbite $h_{\mathbb{R}}(u)$ et la nature du point limite u^+ appartenant à Λ (voir par exemple [13] et [6]). Plus précisément nous avons la correspondance suivante :

- l'orbite $h_{\mathbb{R}}(u)$ est dense dans Ω_h si et seulement si $u^+ \in \Lambda_h$,
- l'orbite $h_{\mathbb{R}}(u)$ est périodique si et seulement si $u^+ \in \Lambda_p$,
- l'orbite $h_{\mathbb{R}}(u)$ est fermée et non périodique si et seulement si $u^+ \in \Lambda_d$,
- l'orbite $h_{\mathbb{R}}(u)$ est irrégulière (orbite qui n'est ni fermée, ni dense dans Ω_h) si et seulement si $u^+ \in \Lambda_{irr}$.

2.5. Convergence dans $T^1\Sigma$. Il s'agit ici de rappeler des résultats sur la convergence dans $T^1\Sigma$ qui seront nécessaire pour démontrer le théorème 1.1. Pour $x \in \Sigma$, $u \in T^1\Sigma$ notons respectivement \tilde{x} et \tilde{u} des relevés quelconques de x et de u dans \mathbb{H} et dans $T^1\mathbb{H}$. Notons également par $(\tilde{u}(t))_{t \geq 0}$ la paramétrisation par unité de longueur du demi rayon géodésique $\tilde{u}(\mathbb{R}_+)$ de \mathbb{H} , défini par \tilde{u} d'origine $\tilde{u}(0)$ et d'extrémité $\tilde{u}(\infty)$. Désignons aussi par $u(\mathbb{R}_+)$ le demi-rayon géodésique de Σ , défini par u , paramétré par $(u(t))_{t \geq 0}$ le projeté de $(\tilde{u}(t))_{t \geq 0}$ dans Σ . Pour z dans \mathbb{H} , notons $B_{\tilde{u}(\infty)}(\tilde{u}(0), z)$ le cocycle de Busemann centré en $\tilde{u}(\infty)$, calculé en $\tilde{u}(0), z$. L'ensemble $\{z \in \mathbb{H}, B_{\tilde{u}(\infty)}(\tilde{u}(0), z) = 0\}$ est l'horocycle centre en $\tilde{u}(\infty)$ et passant par $\tilde{u}(0)$ (pour les propriétés sur le cocycle de Busemann on peut voir [4]). À présent nous allons voir que montrer qu'un réel t est dans l'ensemble T_u , est équivalent à construire une suite $(\gamma_n)_{n \geq 0}$ d'éléments de Γ , qui vérifie deux propriétés. Cela repose sur la convergence horocyclique démontrée dans [2]). Plus précisément nous avons la proposition suivante :

Proposition 2.4. (Dans [2], Chap 2, Prop 2.3.2) Soient u et v deux éléments $T^1\Sigma$. Alors v appartient à l'adhérence $\overline{h_{\mathbb{R}}(u)}$ si et seulement s'il existe une suite $(\gamma_n)_{n \geq 0}$ d'éléments de Γ telle que les deux conditions soient vérifiées :

- (i) $\lim_{n \rightarrow +\infty} \gamma_n \tilde{u}(\infty) = \tilde{v}(\infty).$
- (ii) $\lim_{n \rightarrow +\infty} B_{\tilde{u}(\infty)}(\gamma_n^{-1} i, \tilde{u}(0)) = B_{\tilde{v}(\infty)}(i, \tilde{v}(0)).$

Pour $t \neq 0$, en posant $v = g_t u$, alors il existe $\alpha \in \Gamma$ tel que $\tilde{v}(\infty) = \alpha \tilde{u}(\infty)$ et que $\tilde{v}(0) = \tilde{g}_t \alpha \tilde{u}(0)$. Les points (i) et (ii) de la proposition précédente deviennent alors :

$$(i)' \quad \lim_{n \rightarrow +\infty} \gamma_n \tilde{u}(\infty) = \alpha \tilde{u}(\infty).$$

$$(ii)' \quad \lim_{n \rightarrow +\infty} B_{\tilde{u}(\infty)}(\gamma_n^{-1} i, \tilde{u}(0)) = B_{\alpha \tilde{u}(\infty)}(i, \alpha \tilde{g}_t \tilde{u}(0)) = B_{\tilde{u}(\infty)}(\alpha^{-1} i, \tilde{u}(0)) + t.$$

Nous obtenons alors :

Corollaire 2.5. Soit u un élément de $T^1\Sigma$. Alors un réel t non nul est dans l'ensemble T_u si et seulement s'ils existent $\alpha \in \Gamma$ et une suite $(\gamma_n)_{n \geq 0}$ d'éléments de Γ telle que les deux conditions suivantes soient vérifiées :

- (i) $\lim_{n \rightarrow +\infty} \gamma_n \tilde{u}(\infty) = \alpha \tilde{u}(\infty).$
- (ii) $\lim_{n \rightarrow +\infty} B_{\tilde{u}(\infty)}(\gamma_n^{-1} i, \alpha^{-1} i) = t$

Corollaire 2.6. Soit u un élément de $T^1\Sigma$. Alors l'orbite $h_{\mathbb{R}}(u)$ est récurrente si et seulement s'il existe une suite $(\gamma_n)_{n \geq 0}$ d'éléments de Γ tous distincts telle que les deux conditions suivantes soient vérifiées :

- (i) $\lim_{n \rightarrow +\infty} \gamma_n \tilde{u}(\infty) = \tilde{u}(\infty)$.
- (ii) $\lim_{n \rightarrow +\infty} B_{\tilde{u}(\infty)}(\gamma_n^{-1}i, i) = 0$

3. DÉMONSTRATION DU THÉORÈME 1.1

Soit $\Sigma = \Gamma \setminus \mathbb{H}$ une surface hyperbolique géométriquement infinie où Γ est un groupe fuchsien sans élément elliptique. Soit $u_0 \in \Omega_h$ tel que $h_{\mathbb{R}}(u_0)$ est irrégulière (non fermé et non dense) et de finesse asymptotique $\text{Inj}(u_0(\mathbb{R}_+)) = +\infty$. La démonstration du théorème 1.1 se fait en plusieurs étapes. Elle consiste à construire une suite $(\gamma_n)_{n \geq 0}$ d'éléments de Γ qui permet d'appliquer le corollaire 2.5 ou le corollaire 2.6. Plaçons nous dans le demi-plan de Poincaré \mathbb{H} et quitte à conjuguer Γ par un élément de $PSL_2(\mathbb{R})$, nous supposerons $u_0(\mathbb{R}_+)$ est le projeté sur Σ de la demi-géodisique orientée $[i\infty)$ de \mathbb{H} . Ainsi dans la suite de ce texte, u_0 le projeté sur de 1 élément \tilde{u}_0 de $T^1\mathbb{H}$ basé en i et pointant vers ∞ qui est un point limite irrégulier du groupe Γ .

Lemme 3.1. Soit Γ un groupe fuchsien géométriquement infinie sans élément elliptique et $\infty \in \Lambda_{irr}$. Alors il existe deux réels $M > m > 0$ et une suite $(\gamma_n)_{n \geq 1}$ d'éléments de Γ telle que la suite $(\gamma_n(i))_{n \geq 1}$ est non constante et vérifie :

$$m \leq \text{Im}(\gamma_n(i)) \leq M, \quad \lim_{n \rightarrow +\infty} \gamma_n(i) = \infty \text{ et } \lim_{n \rightarrow +\infty} \gamma_n(\infty) = \infty$$

Démonstration : Puisque ∞ n'est pas un point limite horocyclique ni un point limite discret, pour le groupe Γ , d'après la remarque 2.1, il existe $M > m > 0$ et une suite $(\alpha_n)_{n \geq 1}$ d'éléments de Γ telle que la suite $(\text{Im}(\alpha_n(i)))_{n \geq 1}$ est non constante et vérifie $m \leq \text{Im}(\alpha_n(i)) \leq M$. Comme la suite $(\alpha_n(i))_{n \geq 1}$ n'est pas constante à partir d'un certain rang et que $0 < m \leq \text{Im}(\alpha_n(i))$, alors ∞ est l'unique point d'accumulation de la suite $(\alpha_n(i))_{n \geq 1}$. Par suite il existe un sous suite $(\gamma_n(i))_{n \geq 1}$ de la suite $(\alpha_n(i))_{n \geq 1}$ qui vérifie :

$$m \leq \text{Im}(\gamma_n(i)) \leq M \text{ et } \lim_{n \rightarrow +\infty} \gamma_n(i) = \infty.$$

Montrons à présent que $\gamma_n(\infty)$ tend vers ∞ . Pour tout entier $n \geq 1$, pour tout z dans \mathbb{H} , posons : $\gamma_n(z) = \frac{a_n z + b_n}{c_n z + d_n}$ avec a_n, b_n, c_n et d_n dans \mathbb{R} et $a_n d_n - b_n c_n = 1$. Comme le point ∞ n'est fixé par aucun élément de $\Gamma \setminus \{Id\}$, alors pour tout entier $n \geq 1$, $c_n \neq 0$ et $\gamma_n(\infty) = \frac{a_n}{c_n}$. Pour tout entier $n \geq 1$, nous avons également

$$m \leq \text{Im}(\gamma_n(i)) = \frac{1}{c_n^2 + d_n^2} \leq M.$$

Il en résulte que les suites $(c_n)_{n \geq 1}$ et $(d_n)_{n \geq 1}$ sont bornées et quitte à extraire simultanément deux sous suites notées encore $(c_n)_{n \geq 1}$ et $(d_n)_{n \geq 1}$, alors elles convergent respectivement vers c et d vérifiant $c^2 + d^2 \geq \frac{1}{M} > 0$.

Par un calcul direct nous avons également $\Re(\gamma_n(i)) = \frac{a_n}{c_n} - \frac{d_n}{c_n(d_n^2 + c_n^2)}$. Si $c \neq 0$, la suite $\frac{d_n}{c_n(d_n^2 + c_n^2)}$ converge vers $\frac{d}{c(d^2 + c^2)}$. Comme $\gamma_n(i)$ tend vers ∞ et

$Im(\gamma_n(i))$ est bornés alors $\Re(\gamma_n(i))$ tend vers ∞ ; par suite $\gamma_n(\infty) = \frac{a_n}{c_n}$ tend vers ∞ . Si $c = 0$, quitte à considérer une sous suite, nous supposons que la suite $(a_n)_{n \geq 1}$ admet une limite $a \in \mathbb{R}^* \cup \{-\infty, +\infty\}$ car si $(a_n)_{n \geq 1}$ convergeait vers 0, nous aurions $Im(\gamma_n^{-1}(i)) = \frac{1}{c_n^2 + a_n^2}$ qui tenderait vers $+\infty$ et nous serions en contradiction avec ∞ est un point limite discret. Nous en déduisons $\gamma_n(\infty)$ tend vers ∞ .

□

Dans toute la suite, nous désignerons par $(\gamma_n)_{n \geq 1}$ la suite donnée dans le lemme 3.1 et par a_n, b_n, c_n et d_n les coefficients associées à l'isométrie γ_n . Alors les suites $(c_n)_{n \geq 1}, (d_n)_{n \geq 1}$ convergent respectivement vers c et d vérifiant $c^2 + d^2 > 0$ et la suite $(a_n)_{n \geq 1}$ admet une limite $a \in \mathbb{R} \cup \{-\infty, +\infty\}$.

Lemme 3.2. *Soient Γ un groupe fuchsien géométriquement infinie sans élément elliptique et $u_0 \in \Omega_h$ tel que $h_{\mathbb{R}}(u_0)$ est irrégulière (non fermé et non dense) et de finesse asymptotique $Inj(u_0(\mathbb{R}_+)) = +\infty$. Alors $(a_n)_{n \geq 1}$ admet $a \in \{-\infty, +\infty\}$ pour limite lorsque n tend vers $+\infty$.*

Démonstration : Supposons que $(a_n)_{n \geq 1}$ admet $a \in \mathbb{R}$ pour limite lorsque n tend vers $+\infty$. Comme les suites $(c_n)_{n \geq 1}, (d_n)_{n \geq 1}$ convergent respectivement vers c et d et $b_n c_n = a_n d_n - 1$ alors la suite $(b_n c_n)_{n \geq 1}$ converge vers $ad - 1$. Par ailleurs nous avons $|\gamma_n(i)|^2 = \frac{a_n^2 + b_n^2}{c_n^2 + d_n^2}$ qui tend vers $+\infty$ d'après le lemme 3.1 et comme les suites $(a_n)_{n \geq 1}, (c_n)_{n \geq 1}, (d_n)_{n \geq 1}$ convergent respectivement vers a, c, d avec $c^2 + d^2 > 0$; nous en déduisons que la suite $(b_n^2)_{n \geq 1}$ tend vers $+\infty$.

D'une part, comme par hypothèse $Inj(u_0(\mathbb{R}_+)) = +\infty$, en notant $(ie^t)_{t \geq 0}$ le paramétrage par unité de longueur de la demi géodésique $\tilde{u}_0 = [i\infty)$ de \mathbb{H} , pour toute suite de temps $(t_n)_{n \geq 1}$ tendant vers $+\infty$, nous avons :

$$\lim_{n \rightarrow +\infty} \inf_{\gamma \in \Gamma \setminus \{Id\}} d(ie^{t_n}, \gamma(ie^{t_n})) = +\infty; \text{ en particulier } \lim_{n \rightarrow +\infty} d(ie^{t_n}, \gamma_n(ie^{t_n})) = +\infty.$$

D'autre part nous avons $d(ie^{t_n}, \gamma_n(ie^{t_n})) = 2Argsh\left(\frac{|ie^{t_n} - \gamma_n(ie^{t_n})|}{2\sqrt{e^{t_n} Im(\gamma_n(ie^{t_n}))}}\right)$, ce qui donne :

$$d(ie^{t_n}, \gamma_n(ie^{t_n})) = 2Argsh\left(\frac{\sqrt{b_n^2 e^{-2t_n} + c_n^2 e^{2t_n} + d_n^2 + a_n^2 - 2}}{2}\right).$$

Pour $n \geq 1$, en posant $t_n = \ln(b_n^2)$, nous obtenons :

$$d(ie^{t_n}, \gamma_n(ie^{t_n})) = 2Argsh\left(\frac{\sqrt{b_n^2 c_n^2 + d_n^2 + a_n^2 - 1}}{2}\right).$$

Par passage à la limite lorsque lorsque n tend vers $+\infty$, nous avons :

$$\lim_{n \rightarrow +\infty} d(ie^{t_n}, \gamma_n(ie^{t_n})) = 2Argsh\left(\frac{\sqrt{(ad - 1)^2 + d^2 + a^2 - 1}}{2}\right);$$

ce qui est en contradiction avec $\lim_{n \rightarrow +\infty} d(ie^{t_n}, \gamma_n(ie^{t_n})) = +\infty$.

□

Proposition 3.3. *Soient Γ un groupe fuchsien géométriquement infinie sans élément elliptique et $u_0 \in \Omega_h$ tel que $h_{\mathbb{R}}(u_0)$ est irrégulière (non fermé et non dense) et de finesse asymptotique $Inj(u_0(\mathbb{R}_+)) = +\infty$. Alors $(c_n)_{n \geq 1}$ converge vers 0.*

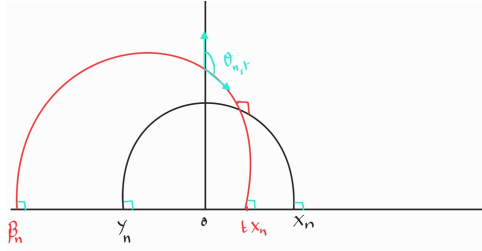


FIGURE 1. Angle entre géodésiques

Démonstration : D'après les lemmes 3.1 et 3.2, les suites $(a_n)_{n \geq 1}, (c_n)_{n \geq 1}$ et $(d_n)_{n \geq 1}$ admettent pour limites respectives $a \in \{-\infty, +\infty\}$, c et d , avec $c^2 + d^2 > 0$. Montrons par absurdité que $c = 0$ et pour cela supposons $c \neq 0$. Pour tout $n \geq 1$, notons $X_n = \frac{a_n - d_n + \sqrt{(a_n + d_n)^2 - 4}}{2c_n}$ et $Y_n = \frac{a_n - d_n - \sqrt{(a_n + d_n)^2 - 4}}{2c_n}$ les points fixes de l'isométrie γ_n . Puisque $(a_n)_{n \geq 1}$ admet $\pm\infty$ pour limite et $(c_n)_{n \geq 1}$ converge vers $c \neq 0$, alors $X_n \sim \frac{a_n}{c_n}$ et donc $(X_n)_{n \geq 1}$ admet $+\infty$ ou $-\infty$ pour limite. En remarquant $Y_n = \frac{2 - 2a_nd_n}{c_n(a_n - d_n + \sqrt{(a_n + d_n)^2 - 4})}$, nous avons $(Y_n)_{n \geq 1}$ qui converge vers $\frac{-d}{c}$. Supposons maintenant $(X_n)_{n \geq 1}$ tend vers $+\infty$. Le cas $(X_n)_{n \geq 1}$ tend vers $-\infty$ se traite de la même manière. Soient $t \in]0, \frac{1}{2}[$ fixé et $Z_n = tX_n$. Pour tout entier $n \geq 1$ assez grand, nous avons $0 < Z_n < X_n$ et $Y_n < Z_n < X_n$. Notons $(\beta_n Z_n)$ l'unique géodésique de \mathbb{H} orthogonale à la géodésique $(Y_n X_n)$. Nous avons alors $[Y_n, X_n, \beta_n, Z_n] = -1$ et donc $\beta_n = \frac{X_n(tX_n + tY_n - 2Y_n)}{(2t-1)X_n - Y_n} \sim \frac{tX_n}{2t-1} < 0$ et tend vers $-\infty$. Ainsi pour n assez grand, nous avons $\beta_n < 0 < Z_n$ et par conséquent les géodésiques orientées $(\beta_n Z_n)$ et (0∞) s'intersectent dans \mathbb{H} . En notant θ_n l'angle entre les géodésiques $(\beta_n Z_n)$ et (0∞) , (voir figure (3)) nous obtenons :

$$\cos \theta_n = 2[\beta_n, 0, Z_n, \infty] - 1 = 1 - \frac{2\beta_n}{Z_n} > 1 \text{ car } \frac{-2\beta_n}{Z_n} > 0;$$

ce qui est absurde. Finalement $(c_n)_{n \geq 1}$ converge vers 0.

□

Démonstration du théorème 1.1. D ’après les lemmes 3.1, 3.2 et la proposition 3.3, il existe une suite $(\gamma_n)_{n \geq 1}$ d’élément de Γ telle qu’en notant a_n, b_n, c_n et d_n les coefficients de l’isométrie γ_n , nous avons les suites $(c_n)_{\geq 1}$ et $(d_n)_{n \geq 1}$ qui convergent respectivement vers 0 et $d \in \mathbb{R}^*$. Comme $\gamma_n^{-1}(\infty) = \frac{-d_n}{c_n}$ et $Im(\gamma_n(i)) = \frac{1}{c_n^2 + d_n^2}$, nous avons :

$$\lim_{n \rightarrow +\infty} \gamma_n^{-1}(\infty) = \infty \text{ et } \lim_{n \rightarrow +\infty} B_\infty(\gamma_n(i), i) = \lim_{n \rightarrow +\infty} \ln \left(c_n^2 + d_n^2 \right) = \ln(d^2).$$

Si $d^2 = 1$, le corollaire 2.6 assure que $h_{\mathbb{R}}(u)$ est récurrente si non le corollaire 2.5 dit que $\overline{h_{\mathbb{R}}(u)}$ n’est pas $h_{\mathbb{R}}$ -minimal.

□

RÉFÉRENCES

- [1] A. F. Beardon, *The geometry of discrete groups*, Springer-Verlag, New York, 1983
- [2] A. Bellis, *Étude topologique du flot horocyclique: le cas des surfaces géométriquement infinies*, Thèse/Université de Rennes1
- [3] A. Bellis, *On the links between horocyclic and geodesic orbits on geometrically infinite surfaces*, Journal de l’École polytechnique Mathématiques, Tome 5 (2018), 443-454
- [4] F. Dal’Bo, *Trajectoires géodésiques et horocycliques*, Savoirs Actuels: EDPS-CNRS 2007
- [5] F. Dal’Bo - J. Farre, O . Landesberg, and Y. Minsky, *Weaving geodesic and new phenomena in horocyclic dynamics*, arXiv : 2510.202609v1 [math.DS] 28 Oct 2025
- [6] F. Dal’Bo - A.N. Starkov, *On a classification of limit points of infinitely generated Schottky groups*, Journal of Dynamical and control Systems, Vol 6, n 4, 2000, 561-578.
- [7] M.Gaye - C.Lo, *Sur l’inexistence d’ensembles minimaux pour le flot horocyclique*. Confluentes Math 9 (2017), no.1, 95-104
- [8] E. Ghys, *Dynamique des flots unipotents sur les espaces homogènes*, Séminaire Bourbaki (1991-1992), Volume:34, pages 93-136.
- [9] G. A. Hedlund, *Fuchsian groups and transitive horocycles*, Duke Math.J. Volume2, Number 3 (1936), 530-542.
- [10] M. Kulikov, *The horocycle flow without minimal sets*, Elsevier Edition C.R. Acad. Sci. Paris, Ser. 1338 (2004) 477-480
- [11] F. Labourie, *Géométrie hyperbolique*, <https://math.univ-cotedazur.fr>, 10 mars 2010.
- [12] S. Matsumoto, *Horocycle flow without minimal sets*, J. Math. Sci. Univ. Tokyo **23** (2016), no. 3, 661-673.
- [13] A. N. Starkov, *Fuchsian groups from the dynamical viewpoint*, Journal of Dynamical and control Systems, Vol 1, n 3, 1995, 427-445.

LABORATOIRE GÉOMÉTRIE ET APPLICATION (LGA), DÉPARTEMENT MATHÉMATIQUE ET INFORMATIQUE, UCAD-DAKAR, SENEGAL.

Email address: masseye.gaye@ucad.edu.sn

Email address: amadou22.sy@ucad.edu.sn